



Laboratorium EMVO Sp. J. Urbański, Pawelak
ul. Jasna 1
00-013 Warszawa

tel. +48 22 780 29 64

e-mail: laboratorium@emvo.pl



AB 1630

Sprawozdanie z pomiarów pól elektromagnetycznych - środowisko nr 36/10/OŚ/2023 – P4



| | | |
|--------------------------|---|---------------------------------|
| Nr i nazwa stacji | ILA4301A | |
| Adres | Smolniki, dz. nr 149/2, pow. iławski, woj. warmińsko-mazurskie | |
| Opracowanie | Martyna Karczmarczyk | Specjalista ds. pomiarów |
| Autoryzacja | Andrzej Urbański | Kierownik Laboratorium |
| Podpis | | |
| Data | 2023-10-30 | |

Spis treści

| | |
|--|---|
| 1. Informacje ogólne. | 3 |
| 2. Podstawa prawna. | 3 |
| 3. Opis pomiarów | 3 |
| 4. Zróżnicowanie dopuszczalne poziomy pól elektromagnetycznych. | 5 |
| 5. Charakterystyka źródeł PEM. | 6 |
| 6. Wyniki pomiarów. | 6 |
| 7. Stwierdzenie zgodności | 6 |
| 8. Oświadczenie. | 8 |
| 9. Spis załączników. | 8 |

1. Informacje ogólne.

| | |
|---|--|
| Zleceniodawca | P4 sp. z o.o., ul. Wynałazek 1, 02-677 Warszawa osoba udzielająca informacji – Magdalena Sokół |
| Istotne informacje dostarczone przez klienta | komplet informacji niezbędnych do wykonania pomiarów i opracowania sprawozdania |
| Dane otrzymane od klienta mogące mieć wpływ na ważność wyników | Dane anten sektorowych, dane anten radioliniowych, parametry pracy instalacji, ustawienie pochylenia anten |
| Prowadzący instalację | P4 sp. z o.o., ul. Wynałazek 1, 02-677 Warszawa |
| Lokalizacja obiektu | Smolniki, dz. nr 149/2, pow. iławski, woj. warmińsko-mazurskie |
| Miejsce instalacji anten | Wieża kratowa |
| Miejsce instalacji urządzeń | Outdoor |
| Osoby wykonujące pomiar | Bartosz Powroźnik |
| Data wykonania pomiaru | 30.10.2023 |
| Temperatura na początku pomiaru [°C] | 12,0 |
| Temperatura na koniec pomiaru [°C] | 12,0 |
| Warunki atmosferyczne | Brak opadów |
| Wilgotność na początku pomiaru [%] | 74,9 |
| Wilgotność na koniec pomiaru [%] | 78,0 |
| Godzina na początku pomiaru | 09:21 |
| Godzina na koniec pomiaru | 10:47 |
| Inne źródła pól elektromagnetycznych oznaczone na załączniku graficznym | Występują |
| Parametry pracy instalacji | Tryb eksploatacyjny |

2. Podstawa prawna.

2.1 Normy i rozporządzenia:

- Ustawa z dnia 27 kwietnia 2001 r. Prawo Ochrony Środowiska (Dz. U. z 2022 r., poz 2556 z późn. zm.)
- Rozporządzenia Ministra Zdrowia z dnia 17 grudnia 2019 r. w sprawie dopuszczalnych poziomów pól elektromagnetycznych w środowisku (Dz. U. z 2019 r., poz. 2448),
- Rozporządzenie Ministra Klimatu z dnia 17.02.2020 r. w sprawie sposobów sprawdzania dotrzymania dopuszczalnych poziomów pól elektromagnetycznych w środowisku (Dz. U. z 2022 r., poz. 2630).

3. Opis pomiarów

| | |
|--------------------------|---|
| Metodologia pomiarowa | Pomiary w oparciu o Rozporządzenie Ministra Klimatu z dnia 17 lutego 2020 r. w sprawie sposobów sprawdzania dotrzymania dopuszczalnych poziomów pól elektromagnetycznych w środowisku (Dz.U. 2022 poz. 2630). |
| Cel badań | Określenie wartości natężenia pola elektrycznego w miejscach dostępnych dla ludności. |
| Opis zestawu pomiarowego | Miernik Narda NBM 550, Sonda EF9091, o zakresie pomiarowym 0,7 V/m - 300V/m pracująca w paśmie 0,1 – 90 GHz, świadectwo wydane przez Laboratorium Wzorców i Metrologii Pola Elektromagnetycznego, Instytut Telekomunikacji, Teleinformatyki i Akustyki Politechniki Wrocławskiej. Świadectwo ważne do 10.06.2024r. Miernik Narda NBM 550, Sonda EF9091 pracująca w zakresie temperatury -10°C +50°C oraz wilgotności 5% - 95%. Niepewność rozszerzona 54,4% przy poziomie ufności 95% z uwzględnieniem współczynnika rozszerzenia k=2. |
| Wyposażenie pomocnicze | Termohigrometr Termoprodukt, typ: Termik+, Nr. inwentarzowy 43/WL, nr identyfikacyjny 1530619, świadectwo wzorcowania nr 0392/AH/20 z dn. 02.03.2020 r. wydane przez Laboratorium Pomiarowe "MUTECH". Dalmierz laserowy BOSH GLM 40, Nr. inwentarzowy 27/WL, nr seryjny 711425432, Świadectwo wzorcowania L4-L41.4180.141.2018.3061.1 z dnia 12 września 2018 wydane przez Pracownia Długości Samodzielnego Laboratorium Długości w Głównym Urzędzie Miar. GPS Garmin 64s okresowo sprawdzany w punktach osnowy geodezyjnej klasy 3 na podstawie licencji punktu, zgodnie z procedurą sprawdzeń okresowych IS/PO16-11/03. |
| Pomiary zostały wykonane | <ol style="list-style-type: none">1. na głównych i pomocniczych kierunkach pomiarowych, na kierunkach zbliżonych do azymutów anten oraz w dodatkowych pionach pomiarowych zgodnie z wymaganiami pkt 12, 13, 14 i 19 Rozporządzenia Ministra Klimatu z dnia 17 lutego 2020 r. (Dz.U. 2022 poz. 2630). Wybór i lokalizacja pionów pomiarowych, w tym znajdujących się wewnątrz lokali, zostały ustalone zgodnie z procedurą laboratorium nr PP-7.3/7.4/7.5-11, z uwzględnieniem: rodzaju badanej instalacji (w tym parametrów technicznych instalacji), lokalizacji badanej instalacji, ukształtowania terenu wokół badanej instalacji.2. na obszarze pomiarowym, dla którego, na podstawie uprzednio przeprowadzonych obliczeń stwierdzono w miejscach dostępnych dla ludności występowanie pól elektromagnetycznych o najwyższym poziomie, które pochodzą z badanej instalacji zgodnie z wymaganiami pkt 5 ppkt 2 oraz pkt 13 ppkt 1 Rozporządzenia Ministra Klimatu z dnia 17 lutego 2020 r. w sprawie sposobów sprawdzania dotrzymania dopuszczalnych poziomów pól elektromagnetycznych w środowisku (Dz.U. 2022 poz. 2630). Wyniki obliczeń nie uwzględniały parametrów pracy instalacji innych operatorów występujących na obiekcie bądź w obszarze pomiarowym.3. w miejscach dostępnych dla ludności.4. miejsca niedostępne podczas wykonywania pomiarów wskazane zostały w pkt 6 (tabeli wyniki pomiarów)5. w dodatkowych pionach pomiarowych w lokalach oraz na balkonach i tarasach, na których mogą przebywać ludzie, po poinformowaniu o planowanych pomiarach z minimum 3-dniowym wyprzedzeniem i po umożliwieniu dostępu do lokalu, balkonu lub tarasu przez jego dysponenta lub bez zachowania terminu wskazanego w pierwszej części |

zdania za zgodą dysponenta przestrzeni pomiarowej.

Sposób powiadamiania dysponentów

Zgodnie z pkt 14 Rozporządzenia Ministra Klimatu z dnia 17 lutego 2020 r. w sprawie sposobów sprawdzania dotrzymania dopuszczalnych poziomów pól elektromagnetycznych w środowisku (Dz.U. 2022 poz. 2630). poinformowano dysponentów lokali o planowanych pomiarach.
Informacji dokonano między innymi poprzez:

1. bloki mieszkalne – zawiadomienie spółdzielni mieszkaniowej, zarządcy nieruchomości, zarządu wspólnoty, umieszczenie informacji o planowanych pomiarach na tablicach ogłoszeń w klatkach schodowych bloków lub na drzwiach wejściowych,
2. biurowce, budynki użyteczności publicznej itp. - przekazanie zawiadomienia do administracji lub recepcji obiektu,
3. domy jednorodzinne, szeregowce itp.- pozostawienie informacji w skrynkach pocztowych itp. lub przekazanie osobiste.

Warunki pracy urządzeń nadawczych

Tryb pracy eksploatacyjny.

4. Zróżnicowanie dopuszczalne poziomy pól elektromagnetycznych.

Zakresy znajdują się w Dzienniku Ustaw z dnia 17 grudnia 2019 r. przedstawione są w tabeli nr 2 (Dz. U. z 2019r. poz. 2448).

| Parametr fizyczny Zakres Częstotliwości pola elektromagnetycznego | Składowa elektryczna E (V/m) | Składowa magnetyczna H (A/m) | Gęstość mocy S (W/m ²) |
|--|---------------------------------|---------------------------------|---------------------------------------|
| od 400 MHz do 2000 MHz | $1,375 \times f^{0,5}$ | $0,0037 \times f^{0,5}$ | $f / 200$ |
| od 2 GHz do 300 GHz | 61 | 0,16 | 10 |

5. Charakterystyka źródeł PEM.

Zgodnie z informacją otrzymaną od Klienta pomiary zostały wykonane przy ustawieniach pochylenia anten zgodnych z pkt. 13, ppkt 2 Rozporządzenia Ministra Klimatu z dnia 17 lutego 2020 roku.

Tabela 1. Anteny sektorowe - dane otrzymane od klienta

| Charakterystyka promieniowania | | kierunkowa | | | | | | | | | | | |
|---------------------------------|--|-----------------------------------|-------|-------|-------|-------------------|-------|-------|-------|-------------------|-------|-------|-------|
| Rzeczywisty czas pracy [h/dobę] | | 24 | | | | | | | | | | | |
| Rodzaj wytwarzanego pola | | stacjonarne | | | | | | | | | | | |
| Lp | Wyszczególnienie | sektor 1 | | | | sektor 2 | | | | sektor 3 | | | |
| I | Nadajnik stacji bazowej: | | | | | | | | | | | | |
| 1 | Typ / Producent | DBS/RBS / Overlay Huawei/Ericsson | | | | | | | | | | | |
| 2 | Częstotliwość (pasmo) MHz | 2100 | 1800 | 900 | 800 | 2100 | 1800 | 900 | 800 | 2100 | 1800 | 900 | 800 |
| 3 | Maksymalna moc nadawana na sektor [dBm] | 53,01 | 53,01 | 47,78 | 49,03 | 53,01 | 53,01 | 47,78 | 49,03 | 53,01 | 53,01 | 47,78 | 49,03 |
| II | Obciążenie: | | | | | | | | | | | | |
| 1 | Typ anteny | Huawei AQU4518R24 | | | | Huawei AQU4518R24 | | | | Huawei AQU4518R24 | | | |
| 2 | Producent anteny | Huawei | | | | Huawei | | | | Huawei | | | |
| 3 | Ilość anten | 1 | | | | 1 | | | | 1 | | | |
| 4 | Azymut | 60 | | | | 170 | | | | 310 | | | |
| 5 | Zakres kątów pochylenia anten [°] | 2-12 | 2-12 | 0-10 | 0-10 | 2-12 | 2-12 | 0-10 | 0-10 | 2-12 | 2-12 | 0-10 | 0-10 |
| 6 | Średnie pochylenie anten (ustawione do pomiarów PEM) [°] | 7,0 | 7,0 | 7,0 | 7,0 | 7,0 | 7,0 | 7,0 | 7,0 | 7,0 | 7,0 | 7,0 | 7,0 |
| 7 | Wysokość zainst. n.p.t. [m] | 49,30 | | | | 49,30 | | | | 49,30 | | | |
| 8 | EIRP [W] | 25692 | | | | 25692 | | | | 25692 | | | |

Tabela 2. Anteny radioliniowe- dane otrzymane od klienta

| Charakterystyka promieniowania | | | | kierunkowa | | | |
|---------------------------------|------------------|---------------------------|---------------------|---------------|---------------------|------------|------------------------|
| Rzeczywisty czas pracy [h/dobę] | | | | 24 | | | |
| Rodzaj wytwarzanego pola | | | | stacjonarne | | | |
| Lp | Linia radiowa | | | Antena | | | |
| | typ/producent | częstotliwość pracy [GHz] | moc wyjściowa [dBm] | typ/producent | średnica anteny [m] | azymut [°] | wysokość zainstal. [m] |
| 1 | OPTIX RTN/HUAWEI | 80 | 18 | A80S06/Huawei | 0,6 | 207 | 46,10 |

6. Wyniki pomiarów.

Wyniki pomiarów pól elektromagnetycznych dla celów ochrony środowiska przedstawia poniższa tabela. Piony pomiarowe zostały przedstawione w zał. 2.

| Nr PP | Pole-E [V/m] | Pole-E, +U [V/m] | Pole-H [A/m] | Pole-H +U [A/m] | Wys. pomiaru [m] | Opis pionu | Uwagi | WM _E | WM _H |
|-------|--------------|------------------|--------------|-----------------|------------------|--------------------------------|--|-----------------|-----------------|
| 1 | 0,7* | 1,24 | 0,002 | 0,003 | 0,3-2,0 | N:53°32'23.4" E:19°36'39.8" | otoczenie stacji bazowej - 100m wzdłuż gł. osi promieniowania - GKP | 0,044 | 0,045 |
| 2 | 0,7* | 1,24 | 0,002 | 0,003 | 0,3-2,0 | N:53°32'25.1" E:19°36'44.8" | otoczenie stacji bazowej - 200m wzdłuż gł. osi promieniowania - GKP | 0,044 | 0,045 |
| 3 | 0,7* | 1,24 | 0,002 | 0,003 | 0,3-2,0 | N:53°32'26.4" E:19°36'49.5" | otoczenie stacji bazowej - 300m wzdłuż gł. osi promieniowania - GKP | 0,044 | 0,045 |
| 4 | 0,7* | 1,24 | 0,002 | 0,003 | 0,3-2,0 | N:53°32'27.9" E:19°36'53.9" | otoczenie stacji bazowej - 400m wzdłuż gł. osi promieniowania- GKP | 0,044 | 0,045 |
| 5 | 0,7* | 1,24 | 0,002 | 0,003 | 0,3-2,0 | N:53°32'29.5" E:19°36'58.5" | otoczenie stacji bazowej - 495m wzdłuż gł. osi promieniowania - GKP | 0,044 | 0,045 |

„Bez pisemnej zgody Laboratorium niniejsze sprawozdanie nie może być powielane inaczej, jak tylko w całości. Ponadto wyniki dotyczą tylko badanych obiektów przywołanych w niniejszym sprawozdaniu z badań”

| Nr PP | Pole-E [V/m] | Pole-E, +U [V/m] | Pole-H [A/m] | Pole-H +U [A/m] | Wys. pomiaru [m] | Opis pionu | Uwagi | WM _E | WM _H |
|-------|--------------|------------------|--------------|-----------------|------------------|--------------------------------|--|-----------------|-----------------|
| 6 | 0,7* | 1,24 | 0,002 | 0,003 | 0,3-2,0 | N:53°32'18.7" E:19°36'36.2" | otoczenie stacji bazowej - 100m wzdłuż gł. osi promieniowania - GKP | 0,044 | 0,045 |
| 7 | 0,7* | 1,24 | 0,002 | 0,003 | 0,3-2,0 | N:53°32'15.4" E:19°36'36.8" | otoczenie stacji bazowej - 200m wzdłuż gł. osi promieniowania - GKP | 0,044 | 0,045 |
| 8 | 0,7* | 1,24 | 0,002 | 0,003 | 0,3-2,0 | N:53°32'12.3" E:19°36'37.7" | otoczenie stacji bazowej - 300m wzdłuż gł. osi promieniowania - GKP | 0,044 | 0,045 |
| 9 | 0,7* | 1,24 | 0,002 | 0,003 | 0,3-2,0 | N:53°32'09.1" E:19°36'38.6" | otoczenie stacji bazowej - 400m wzdłuż gł. osi promieniowania- GKP | 0,044 | 0,045 |
| 10 | 0,7* | 1,24 | 0,002 | 0,003 | 0,3-2,0 | N:53°32'06.4" E:19°36'39.3" | otoczenie stacji bazowej - 495m wzdłuż gł. osi promieniowania - GKP | 0,044 | 0,045 |
| 11 | 0,7* | 1,24 | 0,002 | 0,003 | 0,3-2,0 | N:53°32'24.1" E:19°36'31.2" | otoczenie stacji bazowej - 100m wzdłuż gł. osi promieniowania - GKP | 0,044 | 0,045 |
| 12 | 0,7* | 1,24 | 0,002 | 0,003 | 0,3-2,0 | N:53°32'25.9" E:19°36'26.9" | otoczenie stacji bazowej - 200m wzdłuż gł. osi promieniowania - GKP | 0,044 | 0,045 |
| 13 | 0,7* | 1,24 | 0,002 | 0,003 | 0,3-2,0 | N:53°32'28.2" E:19°36'22.6" | otoczenie stacji bazowej - 300m wzdłuż gł. osi promieniowania - GKP | 0,044 | 0,045 |
| 14 | 0,8 | 1,24 | 0,002 | 0,003 | 0,3-2,0 | N:53°32'30.3" E:19°36'18.6" | otoczenie stacji bazowej - 400m wzdłuż gł. osi promieniowania- GKP | 0,044 | 0,045 |
| 15 | 0,7* | 1,24 | 0,002 | 0,003 | 0,3-2,0 | N:53°32'32.0" E:19°36'14.9" | otoczenie stacji bazowej - 495m wzdłuż gł. osi promieniowania - GKP | 0,044 | 0,045 |
| 16 | 0,7* | 1,24 | 0,002 | 0,003 | 0,3-2,0 | N:53°32'18.9" E:19°36'32.4" | otoczenie stacji bazowej - 100m wzdłuż gł. osi promieniowania - GKP | 0,044 | 0,045 |
| 17 | 0,7* | 1,24 | 0,002 | 0,003 | 0,3-2,0 | N:53°32'21.3" E:19°36'31.9" | otoczenie stacji bazowej -PKP | 0,044 | 0,045 |
| 18 | 0,7* | 1,24 | 0,002 | 0,003 | 0,3-2,0 | N:53°32'24.5" E:19°36'32.9" | otoczenie stacji bazowej -PKP | 0,044 | 0,045 |
| 19 | 0,7* | 1,24 | 0,002 | 0,003 | 0,3-2,0 | N:53°32'23.6" E:19°36'35.5" | otoczenie stacji bazowej -PKP | 0,044 | 0,045 |
| 20 | 0,7* | 1,24 | 0,002 | 0,003 | 0,3-2,0 | N:53°32'24.0" E:19°36'38.3" | otoczenie stacji bazowej -PKP | 0,044 | 0,045 |
| 21 | 0,7* | 1,24 | 0,002 | 0,003 | 0,3-2,0 | N:53°32'22.6" E:19°36'40.6" | otoczenie stacji bazowej -PKP | 0,044 | 0,045 |
| 22 | 0,7* | 1,24 | 0,002 | 0,003 | 0,3-2,0 | N:53°32'21.1" E:19°36'37.2" | otoczenie stacji bazowej -PKP | 0,044 | 0,045 |
| 23 | 0,7* | 1,24 | 0,002 | 0,003 | 0,3-2,0 | N:53°32'19.4" E:19°36'3.8" | otoczenie stacji bazowej -PKP | 0,044 | 0,045 |
| 24 | 0,7* | 1,24 | 0,002 | 0,003 | 0,3-2,0 | N:53°32'19.4" E:19°36'34.9" | otoczenie stacji bazowej -PKP | 0,044 | 0,045 |
| A | 0,7* | 1,24 | 0,002 | 0,003 | 0,3-2,0 | N:53°32'29.6" E:19°36'19.8" | Smolniki 3, pomiar w otworze okiennym, parter -DPP | 0,044 | 0,045 |
| B | 0,7* | 1,24 | 0,002 | 0,003 | 0,3-2,0 | N:53°32'25.9" E:19°36'28.1" | Smolniki 13A, pomiar w otworze okiennym, parter -DPP | 0,044 | 0,045 |
| C | 0,7* | 1,24 | 0,002 | 0,003 | 0,3-2,0 | N:53°32'26.4" E:19°36'26.1" | Smolniki 14, pomiar w otworze okiennym, parter -DPP | 0,044 | 0,045 |
| D | 0,7* | 1,24 | 0,002 | 0,003 | 0,3-2,0 | N:53°32'29.1" E:19°36'21.6" | Smolniki 4, pomiar w otworze okiennym, parter -DPP | 0,044 | 0,045 |
| E | 0,8 | 1,24 | 0,002 | 0,003 | 0,3-2,0 | N:53°32'30.2" E:19°36'18.4" | Smolniki 9, pomiar w otworze okiennym, piętro 1-DPP | 0,044 | 0,045 |
| | 0,7* | 1,24 | 0,002 | 0,003 | 0,3-2,0 | | Smolniki 9, pomiar w otworze okiennym, parter -DPP | 0,044 | 0,045 |
| F | 0,9 | 1,39 | 0,002 | 0,004 | 0,3-2,0 | N:53°32'31.3" E:19°36'17.0" | Smolniki 8, pomiar w otworze okiennym, piętro 1-DPP | 0,050 | 0,050 |
| | 0,8 | 1,24 | 0,002 | 0,003 | 0,3-2,0 | | Smolniki 8, pomiar w otworze okiennym, parter -DPP | 0,044 | 0,045 |

Wynik pomiaru pole - E [V/m] - maksymalna wartość chwilowa zmierzona w danym pionie pomiarowym (uśredniona na podstawie punktu 11 załącznika do Rozporządzenia Ministra Klimatu z dnia 17 lutego 2020 r. w sprawie sposobów sprawdzania dotrzymania dopuszczalnych poziomów pól elektromagnetycznych w środowisku (Dz.U. 2022 poz. 2630)). Zgodnie z pkt. 7 załącznika do Rozporządzenia Ministra Klimatu z dnia 17 lutego 2020 r. w sprawie sposobów sprawdzania dotrzymania dopuszczalnych poziomów pól elektromagnetycznych w środowisku (Dz.U. 2022 poz. 2630) nie stosuje się poprawek pomiarowych.

Przyjęto najniższą dopuszczalną wartość składowej elektrycznej pola dla objętego pomiarami zakresu częstotliwości $\min(ME_{gr})= 28 \text{ V/m}$ oraz składowej magnetycznej $\min(MH_{gr})= 0,073 \text{ A/m}$.

* - wartość zmierzona poniżej zakresu akredytacji. Do obliczeń przyjęto wartość zgodną z dolną granicą akredytowanego zakresu pomiarowego metody.

GKP - główne kierunki pomiarowe

PKP - pomocnicze kierunki pomiarowe

DPP - dodatkowe punkty pomiarowe

PP - pion pomiarowy

U - niepewność pomiarowa rozszerzona, przy poziomie ufności 95%, z uwzględnieniem współczynnika rozszerzenia $k=2$

WM_E - wartość wskaźnikowa poziomu emisji pól elektromagnetycznych dla miejsc dostępnych dla ludności dla składowej elektrycznej pola

WM_H - wartość wskaźnikowa poziomu emisji pól elektromagnetycznych dla miejsc dostępnych dla ludności dla składowej magnetycznej pola

7. Stwierdzenie zgodności

Na podstawie wytycznych podanych w Rozporządzeniu Ministra Zdrowia z dnia 17 grudnia 2019 r. w sprawie dopuszczalnych poziomów pól elektromagnetycznych w środowisku (Dz.U. 2019 poz. 2448) oraz sposobów sprawdzania dotrzymania tych poziomów zgodnie z Rozporządzeniem Ministra Klimatu z dnia 17 lutego 2020 r. w sprawie sposobów sprawdzania dotrzymania dopuszczalnych poziomów pól elektromagnetycznych w środowisku (Dz.U. 2022 poz. 2630), dotyczących źródła wymagań, które muszą być spełnione, w oparciu o zasadę podejmowania decyzji zgodną z pkt. 26 Rozporządzenia Ministra Klimatu z dnia 17 lutego 2020 r. (Dz.U. 2022 poz. 2630), na podstawie wyników pomiarów pól elektromagnetycznych wykonanych w dniu 30.10.2023 stwierdzono, że wszystkie wyniki przeprowadzonych pomiarów w danym obszarze pomiarowym oraz wyznaczone na tej podstawie wskaźniki WME oraz WMH są mniejsze od wartości dopuszczalnych – zgodnie z przepisami wydanymi na podstawie art. 122 ust. 1 ustawy z dnia 27 kwietnia 2001 r. – Prawo ochrony środowiska – załącznikiem do Rozporządzenia Ministra Klimatu i Środowiska z dnia 17 lutego 2020 r. w sprawie sposobów sprawdzania dotrzymania dopuszczalnych poziomów pól elektromagnetycznych w środowisku (Dz.U. 2022 poz. 2630, pkt 26).

8. Oświadczenie.

Wyniki badania odnoszą się wyłącznie do badanego obiektu.

Bez pisemnej zgody sprawozdanie nie może być powielane inaczej, jak tylko w całości.

Uwagi i zastrzeżenia przyjmowane są w formie pisemnej.

9. Spis załączników.

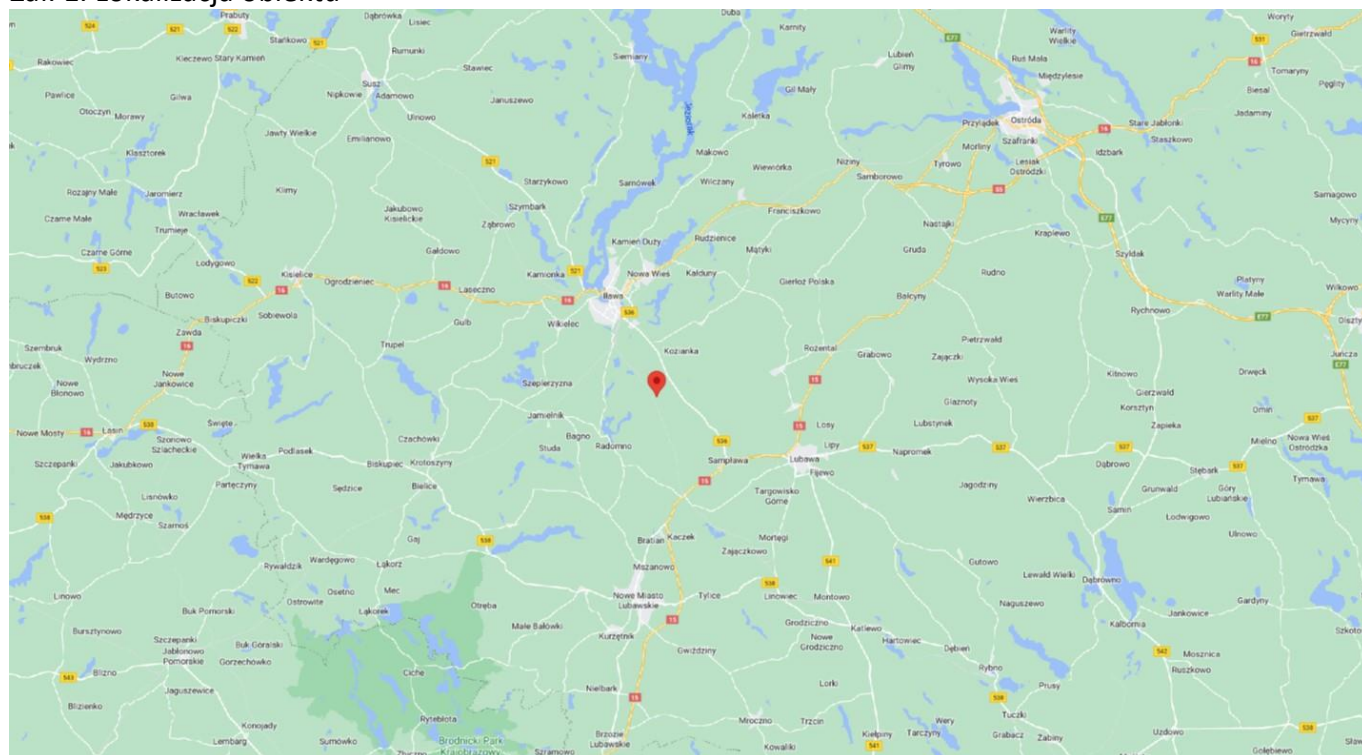
Zał. 1. Lokalizacja obiektu.

Zał. 2. Widok pionów pomiarowych

Zał. 3. Załączniki graficzne

Koniec sprawozdania

Zał. 1. Lokalizacja obiektu

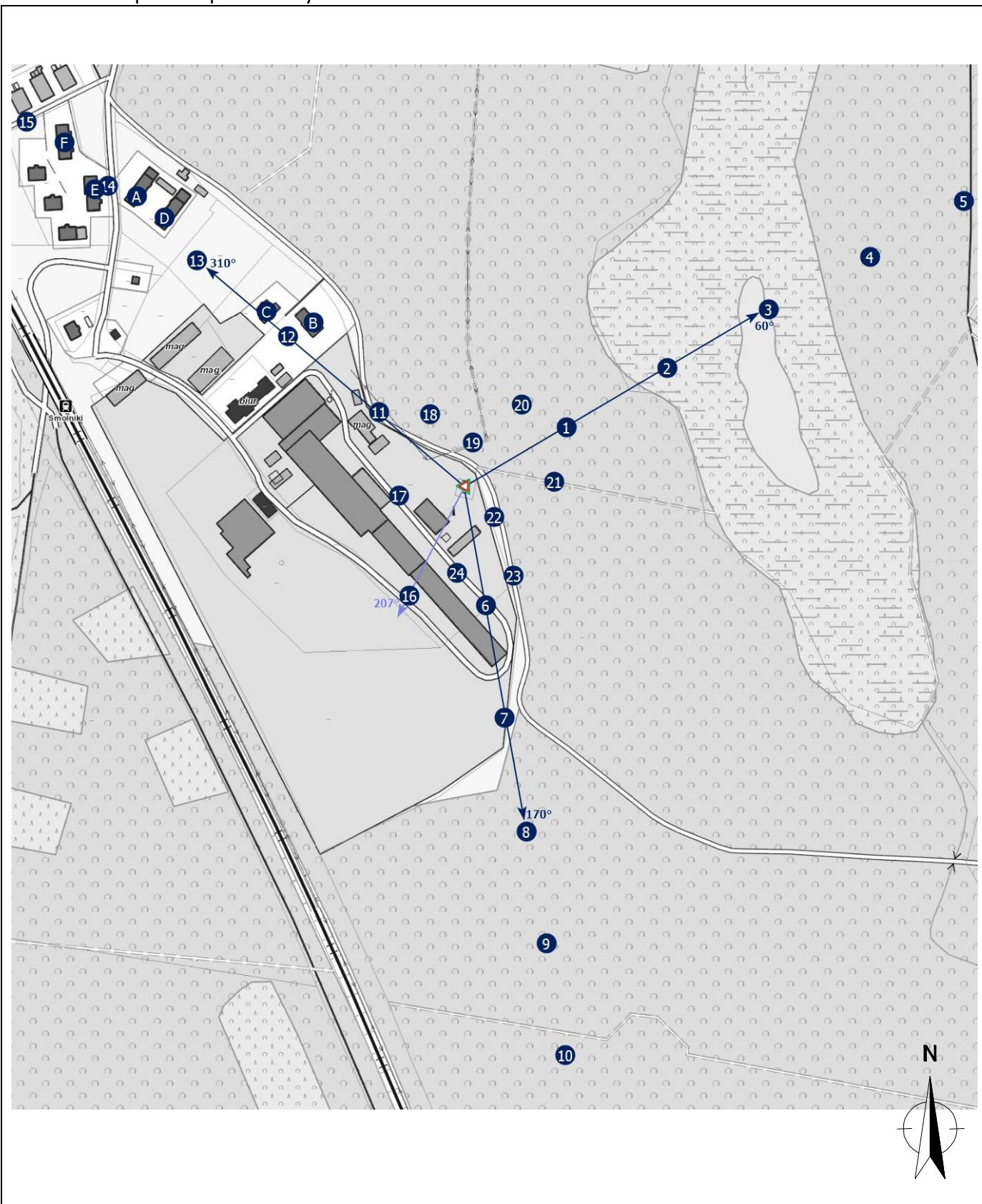


Współrzędne geograficzne

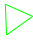
długość: 19°36'33.84"E

szerokość: 53°32'21.12"N


Załącznik 2. Widok pionów pomiarowych




LEGENDA:


 inna instalacja telekomunikacyjna

 instalacja telekomunikacyjna dla której wykonywano pomiar

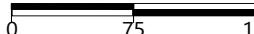
 brak dostępu

 pion pomiaru

 antena sektorowa

 antena radioliowa

Skala: 1:5600

 0 75 150m

„Bez pisemnej zgody Laboratorium niniejsze sprawozdanie nie może być powielane inaczej, jak tylko w całości. Ponadto wyniki dotyczą tylko badanych obiektów przywołanych w niniejszym sprawozdaniu z badań”

36/10/OŚ/2023 – P4

Strona 10 z 11

Załącznik 3. Załączniki graficzne.

